

УДК 534.222.2:533.6.011

ПОВЕДЕНИЕ ВЕКТОРА ВИХРЯ СКОРОСТИ В СВЕРХЗВУКОВЫХ ОСЕСИММЕТРИЧНЫХ ЗАКРУЧЕННЫХ ПОТОКАХ ЗА ДЕТОНАЦИОННОЙ ВОЛНОЙ

В. А. Левин, Г. А. Скопина

Институт автоматики и процессов управления ДВО РАН, 690041 Владивосток

E-mails: levin@iacp.dvo.ru, gala@vlc.ru

Изучается поведение вектора вихря скорости на поверхности разрыва, возникающей при обтекании тела сверхзвуковым неоднородным потоком горячего газа с образованием ударной или детонационной волны. В общем случае набегающий поток является вихревым, с заданным распределением параметров. Показано, что при переходе через поверхность разрыва отношение касательной компоненты вихря к плотности сохраняется, сами эти величины терпят разрыв. Приведены результаты расчетов завихренности потока за стационарной детонационной волной, находящейся в осесимметричном сверхзвуковом потоке горючей смеси газов.

Ключевые слова: вихрь, ударная волна, волна детонации, осесимметричное течение, поверхность разрыва, закон сохранения.

Формулы для компонент вектора вихря за стационарной ударной волной для течений с постоянными параметрами в общем случае получены в работе [1] в предположении бесконечной интенсивности ударной волны. В работах [2, 3] получены формулы для компонент вектора вихря за ударной волной любой интенсивности в случае однородного набегающего потока. В данной работе определяется завихренность за криволинейной стационарной детонационной волной, находящейся в вихревом сверхзвуковом потоке.

Вычисление завихренности за стационарной детонационной волной. Пусть в стационарном сверхзвуковом вихревом осесимметричном потоке горячего газа расположена детонационная волна. Детонационная волна рассматривается как поверхность сильного разрыва, на которой при сгорании единицы массы газа выделяется количество тепла Q , которое может быть переменной функцией. При $Q = 0$ имеет место обычная ударная волна. В этом случае движение газа описывается следующей системой уравнений:

$$\begin{aligned}
 v \frac{\partial \rho}{\partial r} + \rho \frac{\partial v}{\partial r} + \frac{\rho v}{r} + u \frac{\partial \rho}{\partial x} + \rho \frac{\partial u}{\partial x} &= 0, \\
 \rho \left(v \frac{\partial u}{\partial r} + u \frac{\partial u}{\partial x} \right) + \frac{\partial p}{\partial x} &= 0, \quad \rho \left(v \frac{\partial v}{\partial r} + u \frac{\partial v}{\partial x} - \frac{w^2}{r} \right) + \frac{\partial p}{\partial r} &= 0, \\
 v \frac{\partial w}{\partial r} + u \frac{\partial w}{\partial x} + \frac{vw}{r} &= 0, \quad v \frac{\partial}{\partial r} \left(\frac{p}{\rho^\gamma} \right) + u \frac{\partial}{\partial x} \left(\frac{p}{\rho^\gamma} \right) &= 0.
 \end{aligned} \tag{1}$$

Здесь $u(x, r)$, $v(x, r)$, $w(x, r)$ — компоненты скорости \mathbf{V} в цилиндрической системе координат (x, r, φ) ; ρ , p — плотность и давление газа.

Вектор вихря $2\boldsymbol{\omega} = \text{rot } \mathbf{V}$ имеет компоненты

$$2\omega_r = -\frac{\partial w}{\partial x}, \quad 2\omega_x = \frac{1}{r} \frac{\partial rw}{\partial r}, \quad 2\omega_\varphi = \frac{\partial v}{\partial x} - \frac{\partial u}{\partial r}. \quad (2)$$

Соотношения (1) справедливы во всей области течения газа, при этом на самой поверхности разрыва выполняются законы сохранения массы, импульса и энергии:

$$\begin{aligned} \rho v_n &= \rho_0 v_{0n}, & p + \rho v_n^2 &= p_0 + \rho_0 v_{0n}^2, \\ \frac{1}{2} v_n^2 + \frac{\gamma}{\gamma-1} \frac{p}{\rho} &= \frac{1}{2} v_{0n}^2 + \frac{\gamma}{\gamma-1} \frac{p_0}{\rho_0} + Q, \\ v_\tau &= v_{0\tau}, & v_\varphi &= w_0. \end{aligned} \quad (3)$$

Здесь величины с индексом 0 соответствуют параметрам газа перед волной, величины без индекса — параметрам за волной; $v_n = \mathbf{V}\boldsymbol{\nu}$ — нормальная составляющая скорости; $v_\tau = \mathbf{V}\boldsymbol{\tau}$ и v_φ — касательные составляющие скорости. Вектор $\boldsymbol{\tau}$ расположен в плоскости меридионального сечения.

На поверхности разрыва выполняются геометрические условия совместности

$$f_{,i} = f_{,n}\nu_i + f_{,s}\tau_i, \quad i \equiv r, x. \quad (4)$$

Здесь запятая обозначает производную по соответствующей координате; ν_r, ν_x — компоненты единичного вектора нормали к поверхности, направление которого совпадает с направлением течения за фронтом; τ_r, τ_x — компоненты единичного касательного вектора к поверхности разрыва $\boldsymbol{\tau} = \mathbf{r}_{,s}$; $\mathbf{r} = (x, r, \varphi)$. Условия (4) связывают производные некоторой функции f по пространственным координатам с производной по нормали $f_{,n}$ и производной по поверхностной координате $f_{,s}$; s — естественная координата, введенная на поверхности разрыва вдоль меридионального сечения плоскостью $\varphi = \text{const}$.

Используя условия (4) и тот факт, что касательные составляющие скорости не изменяются при переходе через поверхность разрыва, найдем выражение для компонент вектора вихря (2) непосредственно перед и за волной при $r = R(x)$ ($R(x)$ — уравнение поверхности разрыва). Непосредственно перед волной завихренность равна

$$\begin{aligned} 2\omega_{0x} &= \frac{1}{r} \frac{\partial rw_0}{\partial r} = w_{0,n}\nu_r + w_{0,s}\tau_r + \frac{w_0}{r}, & 2\omega_{0r} &= -\frac{\partial w_0}{\partial x} = -w_{0,n}\nu_x - w_{0,s}\tau_x, \\ 2\omega_{0\varphi} &= \frac{\partial v_0}{\partial x} - \frac{\partial u_0}{\partial r} = v_{0,n}\nu_x - u_{0,n}\nu_r + v_{0,s}\tau_x - u_{0,s}\tau_r, \end{aligned} \quad (5)$$

за волной —

$$\begin{aligned} 2\omega_x &= \frac{1}{r} \frac{\partial rw}{\partial r} = w_{,n}\nu_r + w_{,s}\tau_r + \frac{w_0}{r}, & 2\omega_r &= -\frac{\partial w}{\partial x} = -w_{,n}\nu_x - w_{,s}\tau_x, \\ 2\omega_\varphi &= \frac{\partial v}{\partial x} - \frac{\partial u}{\partial r} = v_{,n}\nu_x - u_{,n}\nu_r + v_{,s}\tau_x - u_{,s}\tau_r. \end{aligned} \quad (6)$$

В эти выражения для компонент вектора вихря входят производные компонент скорости газа по нормали и вдоль естественной координаты. Производные по нормали определяются из уравнений движения (1):

— перед волной

$$\begin{aligned} u_{0,n} &= -\frac{1}{v_{0n}} \left(\frac{1}{\rho_0} \frac{\partial p_0}{\partial x} + v_{0\tau} u_{0,s} \right), & v_{0,n} &= -\frac{1}{v_{0n}} \left(\frac{1}{\rho_0} \frac{\partial p_0}{\partial r} + v_{0\tau} v_{0,s} - \frac{w_0^2}{r} \right), \\ w_{0,n} &= -\frac{v_{0\tau}}{v_{0n}} w_{0,s} - \frac{w_0}{r} \left(\nu_r + \frac{v_{0\tau}}{v_{0n}} \nu_x \right); \end{aligned} \quad (7)$$

— за волной

$$\begin{aligned} u_{,n} &= -\frac{1}{v_n} \left(\frac{1}{\rho} \frac{\partial p}{\partial x} + v_{0\tau} u_{,s} \right), & v_{,n} &= -\frac{1}{v_n} \left(\frac{1}{\rho} \frac{\partial p}{\partial r} + v_{0\tau} v_{,s} - \frac{w_0^2}{r} \right), \\ w_{,n} &= -\frac{v_{0\tau}}{v_n} w_{0,s} - \frac{w_0}{r} \left(\nu_r + \frac{v_{0\tau}}{v_n} \nu_x \right). \end{aligned} \quad (8)$$

Подставив выражения для производных по нормали (7), (8) в (5), (6), получим следующие выражения:

— для компонент вектора вихря перед волной

$$\begin{aligned} 2\omega_{0x} &= (w_{0,s} + \nu_x w_0/r)(\nu_x - \nu_r v_{0\tau}/v_{0n}), & 2\omega_{0r} &= (w_{0,s} + \nu_x w_0/r)(\nu_r + \nu_x v_{0\tau}/v_{0n}), \\ 2\omega_{0\varphi} &= -p_{0,s}/(\rho_0 v_{0n}) + \nu_x w_0^2/(r v_{0n}) - v_{0\tau,s} v_{0\tau}/v_{0n} - v_{0n,s}; \end{aligned} \quad (9)$$

— для компонент вектора вихря за волной (с учетом соотношений на скачке (3))

$$\begin{aligned} 2\omega_x &= (w_{0,s} + \nu_x w_0/r)(\nu_x - \nu_r v_{0\tau}/v_n), & 2\omega_r &= (w_{0,s} + \nu_x w_0/r)(\nu_r + \nu_x v_{0\tau}/v_n), \\ 2\omega_\varphi &= -p_{,s}/(\rho v_n) + \nu_x w_0^2/(r v_n) - v_{0\tau,s} v_{0\tau}/v_n - v_{n,s}. \end{aligned} \quad (10)$$

Разложим вектор завихренности на нормальную ω_n и касательные составляющие ω_τ , ω_φ :

— перед волной

$$\begin{aligned} 2\omega_{0n} &= 2(\omega_{0x}\nu_x + \omega_{0r}\nu_r) = w_{0,s} + \nu_x w_0/r, \\ 2\omega_{0\tau} &= 2(\omega_{0x}\tau_x + \omega_{0r}\tau_r) = v_{0\tau}(r w_{0,s} + \nu_x w_0)/(r v_{0n}) = 2\omega_{0n} v_{0\tau}/v_{0n}, \\ 2\omega_{0\varphi} &= -p_{0,s}/(\rho_0 v_{0n}) + \nu_x w_0^2/(r v_{0n}) - v_{0\tau} v_{0\tau,s}/v_{0n} - v_{0n,s}; \end{aligned}$$

— за волной

$$\begin{aligned} 2\omega_n &= 2(\omega_x\nu_x + \omega_r\nu_r) = w_{0,s} + \nu_x w_0/r = 2\omega_{0n}, \\ 2\omega_\tau &= 2(\omega_x\tau_x + \omega_r\tau_r) = v_{0\tau}(r w_{0,s} + \nu_x w_0)/(r v_n) = 2\omega_{0\tau} v_{0n}/v_n = 2\omega_{0\tau} \rho/\rho_0, \\ 2\omega_\varphi &= -p_{,s}/(\rho v_n) + \nu_x w_0^2/(r v_n) - v_{0\tau} v_{0\tau,s}/v_n - v_{n,s}. \end{aligned}$$

Из данных соотношений следует, что нормальная компонента завихренности при переходе через поверхность разрыва остается непрерывной функцией. Из выражения для касательной компоненты вихря ω_τ следует, что величина ω_τ/ρ остается непрерывной при переходе через поверхность разрыва независимо от того, является ли разрыв ударной или детонационной волной:

$$\omega_\tau/\rho = \omega_{0\tau}/\rho_0.$$

Таким образом, для описанного класса течений выполняется закон сохранения величины ω_τ/ρ , хотя сами величины ω_τ и ρ терпят разрыв, как и в случае нестационарных течений [4].

Для нахождения касательной компоненты вихря ω_φ за волной используем законы сохранения массы и импульса на поверхности разрыва (3), а также выражение для $\omega_{0\varphi}$ в (9):

$$\begin{aligned} \nu_x w_0^2/r - v_{0\tau} v_{0\tau,s} &= 2\omega_{0\varphi} v_{0n} - p_{0,s}/\rho_0 + v_{0n} v_{0n,s}, \\ p_{,s} &= p_{0,s} + p_{0,s} v_{0n}(v_{0n} - v_n) + p_0 v_{0n,s}(v_{0n} - v_n) + p_{0,s} v_{0n}(v_{0n,s} - v_{n,s}), & v_n &= \rho_0 v_{0n}/\rho. \end{aligned}$$

Подставив эти соотношения в выражение (10) для ω_φ , получим

$$\omega_\varphi = \omega_{0\varphi} \frac{\rho}{\rho_0} + \frac{v_{0n,s}}{2} \left(1 - \frac{\rho}{\rho_0} \right)^2 / \frac{\rho}{\rho_0} - \frac{p_{0,s}}{2\rho_0 v_{0n}} \left(1 - \frac{\rho}{\rho_0} \right) - \frac{v_{0n} \rho_{0,s}}{2\rho_0} \left(1 - \frac{\rho_0}{\rho} \right).$$

Таким образом, в цилиндрической системе координат за волной компоненты завихренности определяются следующим образом:

$$\omega_x = \omega_n \nu_x + \omega_\tau \tau_x = \nu_x \omega_{0n} - \nu_r \omega_{0\tau} \frac{\rho}{\rho_0}, \quad \omega_r = \omega_n \nu_r + \omega_\tau \tau_r = \nu_r \omega_{0n} + \nu_x \omega_{0\tau} \frac{\rho}{\rho_0}, \quad (11)$$

$$\omega_\varphi = \omega_{0\varphi} \frac{\rho}{\rho_0} + \frac{1}{2} (u_{0,s} \nu_x + v_{0,s} \nu_r - \varkappa v_{0\tau}) \left(1 - \frac{\rho}{\rho_0}\right)^2 / \frac{\rho}{\rho_0} - \frac{p_{0,s}}{2\rho_0 v_{0n}} \left(1 - \frac{\rho}{\rho_0}\right) - \frac{v_{0n} \rho_{0,s}}{2\rho_0} \left(1 - \frac{\rho}{\rho_0}\right).$$

Здесь $\varkappa = -(\partial \nu / \partial s) \cdot \tau$ — кривизна поверхности разрыва. Компоненты вектора вихря за волной зависят от завихренности перед волной, от параметров газа и их производных по естественной координате, а также от отношения плотностей и функций \varkappa , ν и τ , определяющих геометрию поверхности разрыва. При постоянных значениях набегающего потока формулы (11) переходят в известные формулы [1–3].

Завихренность за стационарной детонационной волной для течений с постоянными параметрами. Если компонента скорости в направлении изменения угловой координаты равна нулю ($w_0 = 0$), а начальные параметры газа являются постоянными, то отличной от нуля компонентой вектора вихря (11) является только компонента

$$\omega_\varphi = -\frac{\varkappa v_{0\tau}}{2} \left(1 - \frac{\rho}{\rho_0}\right)^2 / \frac{\rho}{\rho_0}$$

($v_{0\tau} = u_0 \cos \alpha$ — касательная компонента скорости).

Таким образом, при постоянных значениях набегающего потока завихренность является функцией, зависящей от отношения плотностей ρ/ρ_0 , кривизны волны \varkappa , угла наклона касательной к поверхности разрыва α и скорости набегающего потока u_0 .

В свою очередь, величина ρ/ρ_0 определяется из законов сохранения на поверхности разрыва (3) и является функцией параметров, определяющих состояние среды, и количества тепла, подведенного к единице массы газа $q = 2Q(\gamma^2 - 1)/a_0^2$:

$$\frac{\rho}{\rho_0} = \frac{1 + \gamma M_{0n}^2 + \sqrt{(M_{0n}^2 - 1)^2 - q M_{0n}^2}}{(\gamma - 1) M_{0n}^2 + q/(\gamma + 1) + 2}. \quad (12)$$

Здесь $M_{0n} = M_0 \sin \alpha$; $M_0 = u_0/a_0$ — число Маха; a_0 — скорость звука; γ — показатель адиабаты.

Из условия неотрицательности подкоренного выражения в соотношении (12) следует, что обтекание тела возможно при изменении α в интервале $\alpha_J \leq \alpha \leq \pi/2$. Здесь α_J — угол наклона касательной к волне в точке перехода волны в режим Чепмена — Жуге:

$$\alpha_J = \arcsin \left(\frac{1}{M_0} \sqrt{\frac{2 + q + \sqrt{q(4 + q)}}{2}} \right). \quad (13)$$

Соотношение (13) позволяет найти ограничения для параметров задачи: $0 \leq q \leq q_*$. Здесь $q_* = (M_0 - 1/M_0)^2$; $(M_0)_* \leq M_0 \leq \infty$; $(M_0)_* = \sqrt{(2 + q + \sqrt{q(4 + q)})}/2$.

Тангенс угла наклона касательной к волне равен

$$\operatorname{tg} \alpha_J = \sqrt{\frac{2 + q + \sqrt{q(4 + q)}}{2(M_0^2 - 1) - q - \sqrt{q(4 + q)}}}.$$

Для ударной волны $\operatorname{tg} \alpha_J = \sqrt{1/(M_0^2 - 1)}$. При критических значениях параметров задачи $q = q_*$ или $M_0 = (M_0)_*$ $\operatorname{tg} \alpha_J = \infty$, $\alpha = \pi/2$. С увеличением M_0 угол наклона касательной к волне уменьшается, а с увеличением тепловыделения — увеличивается.

В работе [5] показано, что для течений с цилиндрической или сферической волной детонации, в отличие от течений с плоскими волнами, переход к режиму Чепмена — Жуге происходит на конечном расстоянии. В точке перехода пересжатой волны в режим Чепмена — Жуге она имеет касание третьего порядка.

Рассмотрим течение за участком волны детонации, предшествующее наступлению режима Чепмена — Жуге, когда параметры газа являются постоянными. В качестве примера предположим, что при обтекании некоего тела образуется волна вида $R^2 = 1/(a-x) - b$, которая в точке x_J (точке перехода в режим Чепмена — Жуге) обладает следующими свойствами (имеет касание третьего порядка): $R(x_J) = \pm \operatorname{tg} \alpha_J x_J$, $R'(x_J) = \pm \operatorname{tg} \alpha_J$, $R''(x_J) = 0$, производная $R'''(x_J)$ существует. Функция R равна нулю в точке $x_0 = a - 1/b$, за точкой $x = x_J$ волна является прямолинейной.

Условия в точке перехода в режим Чепмена — Жуге выполняются при следующих значениях параметров функции: $a = 3 \operatorname{tg}^{-2/3} \alpha_J / 2$, $b = 3 \operatorname{tg}^{2/3} \alpha_J / 4$, $x_J = \operatorname{tg}^{-2/3} \alpha_J / 2$. Кривизна волны определяется выражением

$$\kappa = -\frac{\partial \nu}{\partial s} \tau = -\frac{R''}{(1 + (R')^2)^{3/2}} = -\frac{2(a-x)^2(3-4b(a-x))}{(1+4(a-x)^4 R^2)^{3/2}}$$

и является положительной функцией на промежутке $[x_0, x_J]$. При $x \geq x_J$ кривизна равна нулю. В этом случае во всей области течения волну можно описать следующей функцией:

$$R(x) = \begin{cases} \pm \frac{\operatorname{tg}^{1/3} \alpha_J}{2} \sqrt{\frac{6 \operatorname{tg}^{2/3} \alpha_J x - 1}{3 - 2 \operatorname{tg}^{2/3} \alpha_J x}}, & x_0 \leq x \leq x_J, \\ \pm \operatorname{tg} \alpha_J x, & x \geq x_J. \end{cases}$$

Волна детонации $R(x)$ и касательная к волне при $q = 10$, $\gamma = 1,4$ и различных значениях числа Маха M_0 показаны на рис. 1. Точки соответствуют переходу волны в режим Чепмена — Жуге. За этими точками волна представляет собой прямую линию. Из рис. 1 следует, что чем больше число Маха, тем меньше угол наклона касательной к волне и тем ближе волна к поверхности тела.

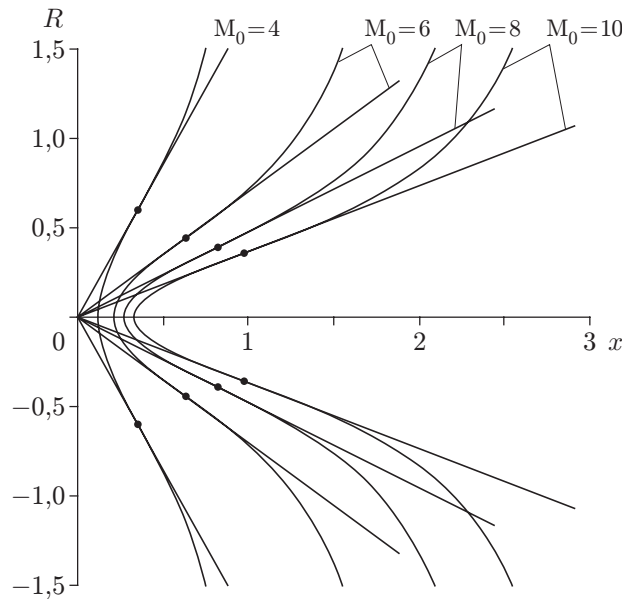


Рис. 1. Волна детонации $R(x)$ и касательная к волне при $q = 10$, $\gamma = 1,4$ (точки — переход волны в режим Чепмена — Жуге)

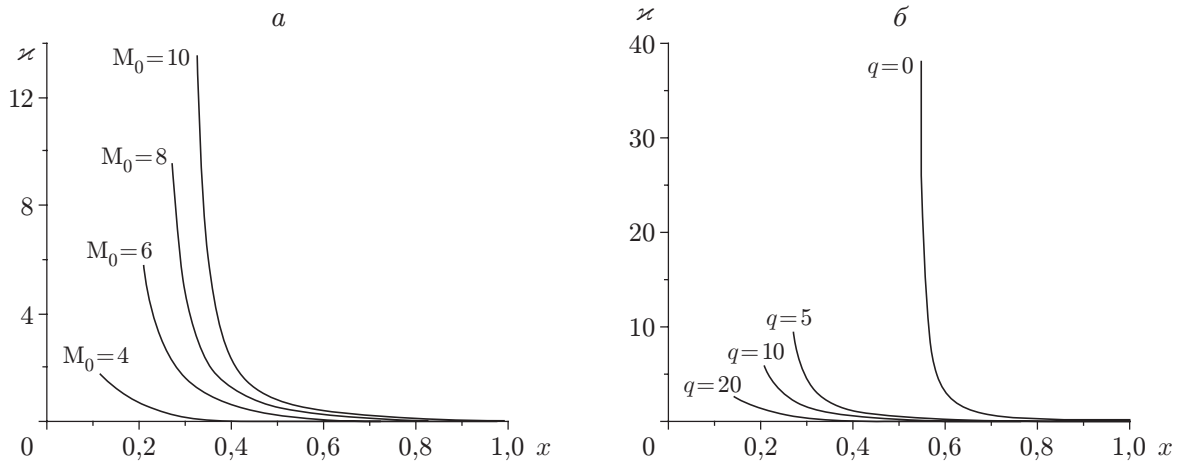


Рис. 2. Изменение кривизны волны κ на промежутке $[x_0, x_J]$ при $\gamma = 1,4$:
 а — $q = 10$; б — $M_0 = 6$

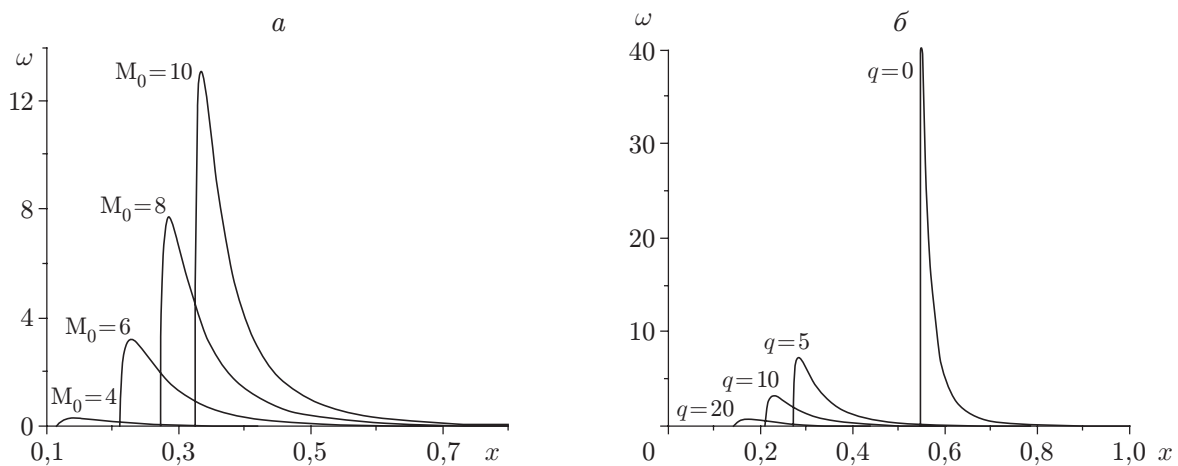


Рис. 3. Изменение завихренности ω при $\gamma = 1,4$:
 а — $q = 10$; б — $M_0 = 6$

На рис. 2, а, б показано изменение кривизны волны κ на промежутке $[x_0, x_J]$ при различных значениях числа Маха и тепловыделения соответственно. В точке x_0 кривизна принимает максимальное значение, а в точке перехода в режим Чепмена — Жуге обращается в нуль. Кривизна имеет наибольшее значение для ударной волны ($q = 0$), за волной детонации кривизна волны уменьшается с увеличением энерговыделения в ней.

На рис. 3, а, б показано изменение завихренности $\omega = -2\omega_\varphi/u_0$ при различных значениях числа Маха и тепловыделения соответственно. Вихрь равен нулю в точке x_0 , где волна является прямой ($\alpha = \pi/2$), и в точке перехода в режим Чепмена — Жуге x_J . Вихрь является максимальным при значениях x , близких к значениям x_0 . С увеличением числа Маха завихренность растет (рис. 3, а) и достигает наибольшего значения за ударной волной (рис. 3, б). Увеличение тепловыделения приводит к значительному уменьшению завихренности за волной детонации.

Таким образом, исследована завихренность закрученного потока непосредственно за стационарной детонационной волной. Обнаружено, что завихренность достигает максимального значения для ударных волн, а для детонационных волн уменьшается с увеличением энерговыделения в волне. При переходе через поверхность разрыва нормальная ком-

понента вихря остается непрерывной функцией. Также показано, что для данного класса течений выполняется закон сохранения величины ω_T/ρ при любых распределениях параметров газа в набегающем потоке.

ЛИТЕРАТУРА

1. **Лайтхилл М.** Динамика диссоциирующего газа // Вопросы ракетной техники: Сб. науч. тр. М.: Изд-во иностр. лит., 1957. № 6. С. 41–60.
2. **Майкапар Г. И.** Вихри за головной ударной волной // Изв. АН СССР. Механика жидкости и газа. 1968. № 4. С. 162–165.
3. **Русанов В. В.** Производные газодинамических функций за искривленной ударной волной. М., 1973. (Препр. / АН СССР. Ин-т прикл. математики; № 18).
4. **Левин В. А., Скопина Г. А.** Распространение волн детонации в закрученных потоках газа // ПМТФ. 2004. Т. 45, № 4. С. 3–6.
5. **Левин В. А., Черный Г. Г.** Асимптотические законы поведения детонационных волн // Прикл. математика и механика. 1967. Т. 31, № 3. С. 393–405.

Поступила в редакцию 16/1 2007 г.
